

## Практична робота № 2

**Тема:** алгоритмічна компенсація випадкових похибок інформаційних сигналів у вимірювальному каналу

**Мета роботи:** отримати навики обробки випадкових похибок інформаційних сигналів у вимірювальному каналі за допомогою програми GNU OCTAVE.

### 2.1. Основні теоретичні відомості

Результат розподілу на ОВ і фон (сегментації) початкового двовимірного масиву  $f_0(n,m)$  та його алгоритмічної оцінки  $\hat{f}_0(n,m)$ , отриманої в результаті компенсації похибок,  $Q_{\hat{f}_0}$  і  $\hat{Q}_{\hat{f}_0}$  – множини точок, що належать ОВ відповідно у початковому двовимірному масиві  $f_{\text{над}}(n,m)$  та у його алгоритмічній оцінці  $\hat{f}_{\text{над}}(n,m)$ ,  $\oplus$  – логічна операція визначення суми за модулем 2;  $l_{\text{еф}}$  – сумарна довжина контуру ОВ в д.т.

Як було визначено в підрозділах 1.3 і 2.2, вимірювальний канал приладової системи складається з двох основних частин:

- ПФВЗ з частотною передаточною функцією  $W_f(j\omega_1, j\omega_2)$ , що вносить похибки у відеозображення;
- цифрової ЕОМ з частотною передаточною функцією  $W_{\text{еф}}(j\omega_1, j\omega_2)$ , що компенсує похибки відеозображенень з вимірювальною інформацією.

Цифрова ЕОМ виконує алгоритмічну компенсацію (фільтрацію) випадкових похибок відеозображень, що виникають в ПФВЗ. Фільтрацію двовимірних сигналів розглянуто в багатьох наукових працях [155, 160, 161, 245, 251, 306, 317 – 320]. Частотна передаточна функція оптимального фільтра випадкових похибок відеозображень дорівнює [155, 160, 245]:

$$S_{f\ddot{\alpha}}(\omega_1, \omega_2) = \frac{4D_{f\ddot{\alpha}}\alpha_x\alpha_y}{(\alpha_x^2 + \omega_1^2)(\alpha_y^2 + \omega_2^2)}, \quad S_\xi(\omega_1, \omega_2) = \frac{4D_\xi\alpha_{x\xi}\alpha_{y\xi}}{(\alpha_{x\xi}^2 + \omega_1^2)(\alpha_{y\xi}^2 + \omega_2^2)}. \quad (3.7)$$

Змн.	Арк.	№ докум.	Підпис	Дата	МММТ.420.004.004 – ЗП2	Арк.
						16

Приклад спектральних щільностей вимірюваної інформації та її випадкових похибок згідно формул (3.6) і (3.7) наведено в табл. В.1 та на рис. В.1. Початкові дані та результати розрахунку частотних характеристик оптимального фільтра для компенсації випадкових похибок відеозображенъ згідно формул (3.5) і (3.7) наведено в табл. В.1, В.2 та на рис. 3.1.

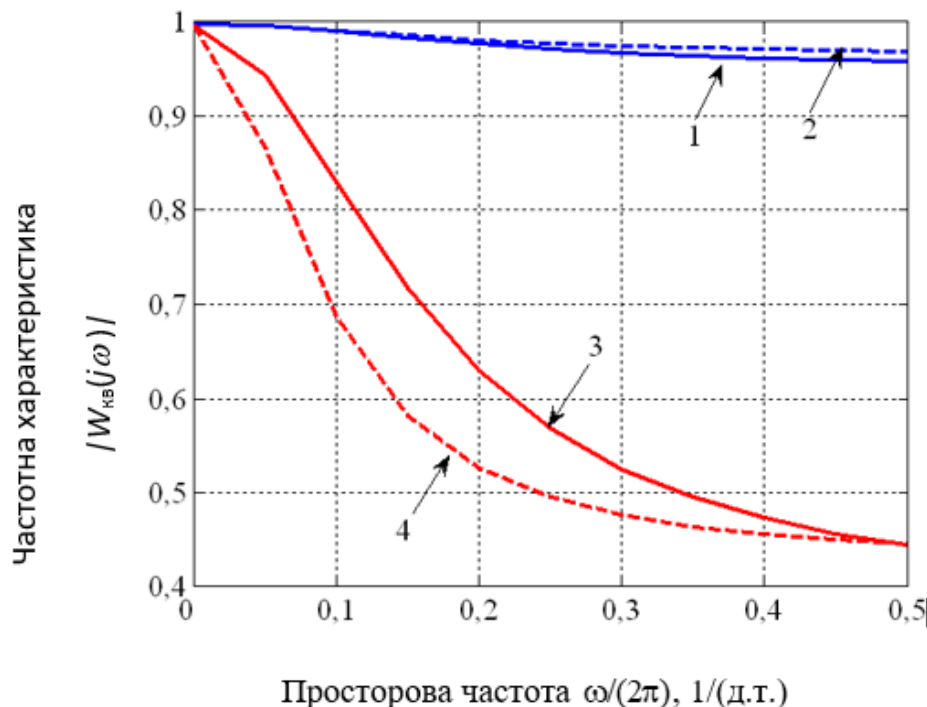


Рис. 2.1. Частотна характеристика оптимального фільтра для компенсації випадкових похибок на відеозображені виробу з граніту Покостівського родовища: цифровий фотоапарат Sony Cyber-Shot DSC-H9, нормальні умови вимірювань,  $\psi_{\text{n}/\phi} = 55 \text{ дБ}$  (1 – вздовж осі  $Ox$ ; 2 – вздовж осі  $Oy$ ); відеокамера Panasonic M3000, робочі умови вимірювань на виробництві,  $\psi_{\text{n}/\phi} = 40 \text{ дБ}$  (3 – вздовж осі  $Ox$ ; 4 – вздовж осі  $Oy$ )

Перевагою формул (3.7) є можливість розділення виразів для спектральних щільностей та частотної передаточної функції оптимального фільтра на дві частини, кожна з яких залежить тільки від однієї просторової частоти  $\omega_1$  або  $\omega_2$ . Такий підхід використано для алгоритмичної компенсації випадкових і динамічних похибок на основі штучних нейронних мереж.

Змн.	Арк.	№ докум.	Підпис	Дата	МММТ.420.004.004 – ЗП2	Арк.
						17

## 2.2. Виконання роботи

Варіант	Початкові дані для розрахунку					
	Корисний сигнал вимірювальної інформації			Випадкові викривлення (шум)		
	Параметр кореляційної функції $\alpha_x$ , (д.т.) <sup>-1</sup>	Параметр кореляційної функції $\alpha_y$ , (д.т.) <sup>-1</sup>	Середньо-квадратичне значення амплітуди $\sigma_{f2}$ , д.р.	Параметр кореляційної функції $\alpha_{x\xi}$ , (д.т.) <sup>-1</sup>	Параметр кореляційної функції $\alpha_{y\xi}$ , (д.т.) <sup>-1</sup>	Середньо-квадратичне значення амплітуди $\sigma_\xi$ , д.р.
4	0,064	0,037	28,6	1,552	0,881	3,9

Примітки: 1. Канал  $Y$  відповідає яскравості кольорового відеозображення, що обчислюється за формулою  $Y = 0,30R + 0,59G + 0,11B$ , де  $R$ ,  $G$  і  $B$  – відеосигнали в каналах червоного, зеленої та синього кольору.

2. Частота зрізу  $\omega_{10}$  визначається за умови  $|W_{\text{KB}}(j\omega_1, j\omega_2)| = 0,5$  при  $\omega_2 = 0$ , частота зрізу  $\omega_{20}$  – за умови  $|W_{\text{KB}}(j\omega_1, j\omega_2)| = 0,5$  при  $\omega_1 = 0$ .

3. \* – частота зрізу лежить за межами смуги перепускання 0 ... 0,5 (д.т.)<sup>-1</sup> для цифрового відеозображення, що представлено дискретними відліками.

1.2.1. Виконуємо перетворення за допомогою програми Matlab для зображення у вигляді еліпсу, код програми наведений у роботі № 1.

Розмір зображення рядка та стовпці д.т. 1024 x 1024

Фігура 2 – еліпс

Кількість кадрів 30

ширина погр. кривої (перепаду яскравості в рядку) д.т. 12

розмір маски фільтра д.т. 3

вів змаза під час руху відеокамери <=20 д.т. 0

кут змаза під час руху відеокамери град. 0

сигнал шум у dB 40

Ампл. погріш без фільтр після фільтр

СКО серед д.у. 3.150 2.2100

SNR серед dB 34.518 42.842

PSNR серед dB 64.521 58.475

Параметри похибки геометричних ознак д.т.

Погріш без фільтр, д.т. площа% центр x центр у широта висота

Максимальна 0.081 0.112 0.073 3.870 2.000

Макс дов 0.078 0.109 0.71 3.750 2.000

Серед зн -0.003 0.003 -0.002 0.800 0.000

СКО 0.009 0.009 0.004 0.640 0.000

Змн.	Арк.	№ докум.	Підпис	Дата	MMMT.420.004.004 – ЗП2	Арк.
						18

Погріш невпадання контуру без фільтр після фільтр  
макс д.т./довжину контуру 0.124 0.094  
макс дов д.т./довжину конт 0.091 0.071  
серед д.т./довжину контуру 0.075 0.063  
СКО д.т./довжину контуру 0.020 0.020

## 2.2.2. Моделювання зображення.

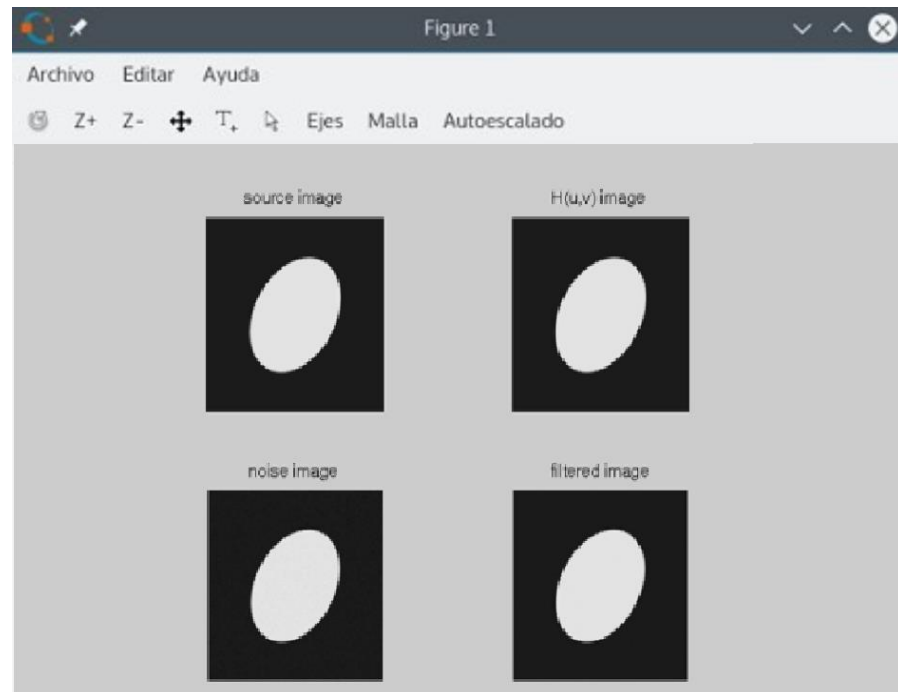


Рис. 2.2. Результат виконання програми

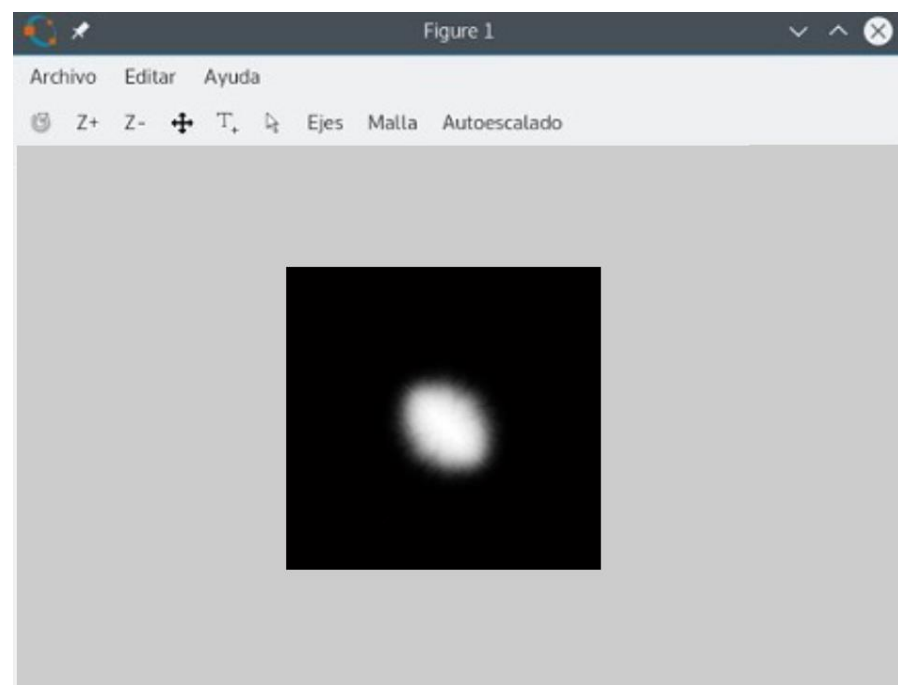


Рис. 2.3. Спектр вихідного зображення

Змн.	Арк.	№ докум.	Підпис	Дата

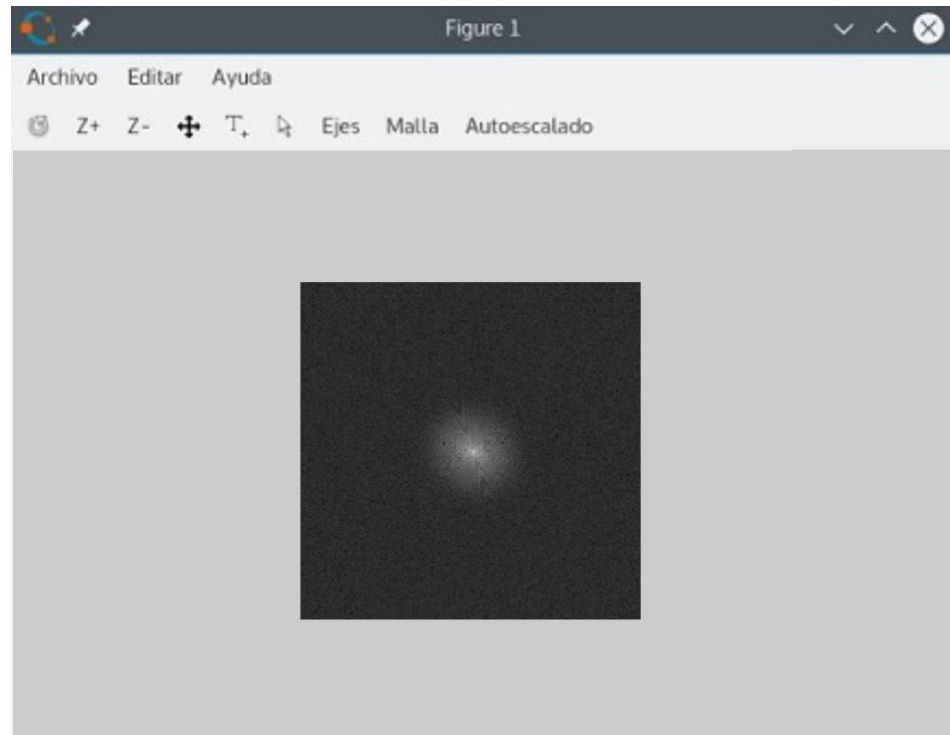


Рис. 2.4. Спектр зображення з шумом

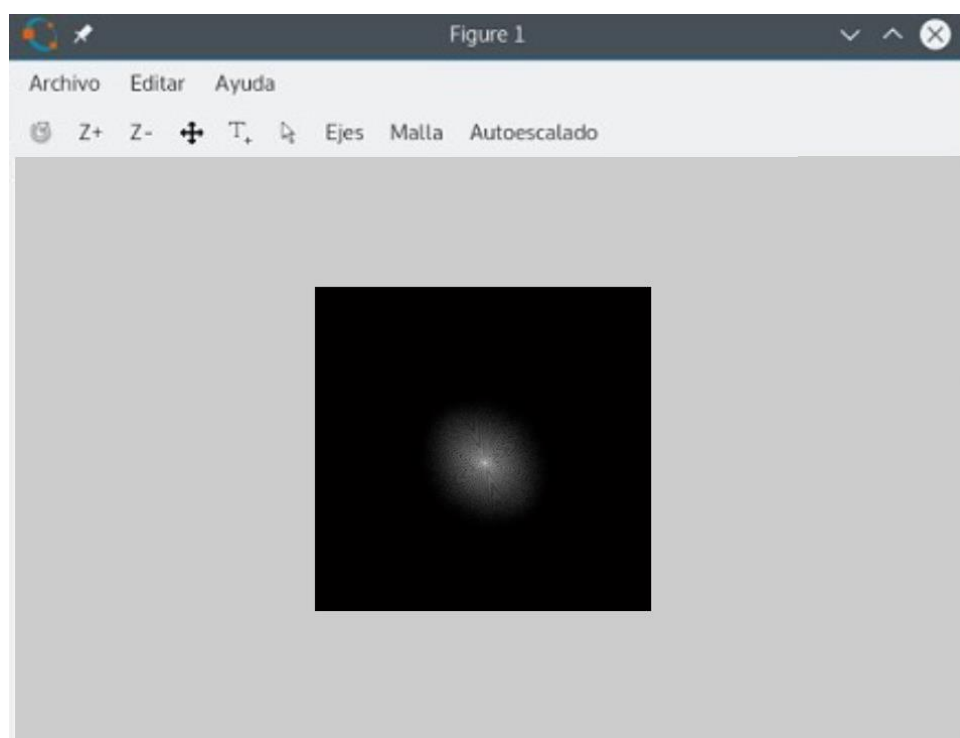


Рис. 2.5. Спектр зображення після фільтрації

**Висновок:** на данній практичній роботі було отримано навики обробки випадкових похибок інформаційних сигналів у вимірювальному каналі за допомогою програми MATLAB.

Змн.	Арк.	№ докум.	Підпис	Дата	МММТ.420.004.004 – ЗП2	Арк. 20
------	------	----------	--------	------	------------------------	------------